

# О возможностях экспериментальной проверки некоторых предсказаний теории локализации

А. Г. Грошев, С. Г. Новокшонов<sup>1)</sup>

Физико-технический институт, Уральского отделения РАН, 426001 Ижевск, Россия

Поступила в редакцию 20 мая 2002 г.

Пространственная нелокальность (дисперсия) уравнений переноса ведет к нелинейной зависимости падения напряжения  $U$  от расстояния между точками его измерения. Вследствие этого результаты обычных двухзондовых измерений проводимости существенно зависят от соотношения между линейными размерами образца  $L$  и масштабом пространственной дисперсии  $R$  обобщенного коэффициента диффузии  $D(q, \omega)$ . Это дает возможность получить информацию о характере пространственной нелокальности  $D(q, \omega)$  в окрестности перехода Андерсона и, в частности, о значении корреляционной мультифрактальной размерности  $D_2$  электронных волновых функций вблизи порога подвижности.

PACS: 71.30.+h, 72.15.Rn

**1.** Последние несколько лет большое внимание привлекала проблема пространственной дисперсии (нелокальности) кинетических коэффициентов неупорядоченных систем в окрестности перехода Андерсона [1–6]. Причиной такого интереса явилось осознание того, что характер  $q\omega$ -зависимости обобщенного коэффициента диффузии  $D(q, \omega)$  вблизи порога подвижности тесно связан с критическим поведением электронных волновых функций и в конечном итоге определяется сценарием перехода металл–диэлектрик [1, 3]. Действительно, критерий локализации Березинского–Горькова [7] требует одновременного (при всех значениях волнового числа  $q$ ) обращения в нуль  $D(q, 0)$  в локализованной фазе, а согласно гипотезе однопараметрического скейлинга, должно выполняться соотношение [8]

$$D(t; q, \omega) = b^{2-d} D(b^{1/\nu} t; bq, b^d \omega), \quad 2 < d < 4. \quad (1)$$

Здесь  $t = (\mathcal{E} - \mathcal{E}_c)/\mathcal{E}_c$  – расстояние до порога подвижности  $\mathcal{E}_c$ ,  $b$  – масштабный множитель,  $d$  – размерность пространства,  $\nu$  – критический индекс корреляционной длины.

Этим общим требованиям удовлетворяют два качественно разных варианта критического поведения  $D(q, \omega)$ :

- Согласно гипотезе Чолкера [1] мультифрактальность электронных волновых функций вблизи порога подвижности ( $t \rightarrow 0$  и/или  $\omega \rightarrow 0$ ) ведет к аномально сильной пространственной дисперсии обобщенного коэффициента диффузии, масштабы которой  $R = \min(\xi, L_\omega) \rightarrow \infty$ , где  $\xi \propto |t|^{-\nu}$  – корреляционная длина,  $L_\omega \propto \sqrt{D(\omega)/\omega} \propto \omega^{-1/d}$  – длина диффузии

электрона за время  $\sim 1/\omega$  [1, 2]. В зависимости от соотношения между  $\xi$ ,  $L_\omega$  и  $q$  Чолкер выделяет четыре основные асимптотики [1]:

$$D(q, \omega) = D_0 \left( \frac{l}{R} \right)^{d-2} \begin{cases} 1, & qR \ll 1, \\ (qR)^{d-2-\eta}, & qR \gg 1, \end{cases} \quad (2)$$

$$R = \min(\xi, L_\omega).$$

Здесь  $D_0$  – коэффициент диффузии Друде,  $l$  – средняя длина свободного пробега,  $\eta$  – аномальный критический индекс, связанный с мультифрактальной корреляционной размерностью волновых функций  $D_2$  ( $\eta = d - D_2$ ) [2].

- В то же время, симметричный подход Суслова к теории локализации [4] предсказывает подавление вплоть до атомных масштабов ( $R \sim \lambda_F$ ) пространственной дисперсии коэффициента диффузии в окрестности перехода Андерсона. Позднее этот вывод был подтвержден в рамках обобщенной формулировки [5, 6] самосогласованной теории Вольхардта–Вельфле [9]. Согласно [5, 6], в режиме андерсоновской локализации

$$D(q, \omega) = \frac{D(t, \omega)}{1 + (qR)^2}, \quad qR \ll 1, \quad (3)$$

где масштаб нелокальности  $R \propto \sqrt{D_0 \tau} |D(t, \omega)/D_0|$  и убывает как  $D(t, \omega) \propto [\min(\xi, L_\omega)]^{2-d}$  вплоть до насыщения при  $R \sim \lambda_F$ .

В обзоре Суслова [3] обращается внимание на то, что отсутствие аномально сильной пространственной дисперсии обобщенного коэффициента диффузии в окрестности порога подвижности отнюдь не противоречит концепции мультифрактальности электронных волновых функций, а лишь указывает на то,

<sup>1)</sup>e-mail: nov@otf.fti.udmurtia.su

что должно выполняться равенство  $\eta = d - 2$  (или  $D_2 = 2$ ). Известный результат Вегнера  $\eta = 2\epsilon$  ( $\epsilon = d - 2 \ll 1$ ) [10] на самом деле непосредственно касается критического поведения “обратной доли участия” (см. [10]). В то же время используемая в [1, 2, 11] связь этой величины с  $D(q, \omega)$  по ряду причин не может считаться корректной<sup>2)</sup>, поэтому, на наш взгляд, противоречие здесь только кажущееся. То же самое можно сказать и относительно результатов численного моделирования  $\eta = 1.2 \pm 0.15$ ,  $\eta = 1.3 \pm 0.2$ ,  $\eta = 1.5 \pm 0.3$  [2] и  $\eta = 1.3 \pm 0.2$  [11], полученных различными методами при  $d = 3$ .

Эта дилемма, затрагивающая фундаментальные понятия андерсоновской локализации, требует своего разрешения, как теоретического, так и экспериментального. В этой заметке мы выводим материальное уравнение, связывающее в пространственно неоднородном случае силу тока с измеряемой разностью электрохимических потенциалов, и предлагаем схему измерения, которая позволяет получить информацию о степени нелокальности коэффициента диффузии носителей заряда.

**2.** Падение напряжения  $U$ , измеряемое в пространственно неоднородном случае, равно разности электрохимических потенциалов  $\Delta U = \Delta\zeta/e = \Delta\varphi + \Delta\mu/e$  между соответствующими точками проводника. Следовательно при вычислении плотности тока необходимо учитывать отклик системы как на механическое возмущение (электрический потенциал  $\varphi$ ) так и на термическое (химический потенциал  $\mu$ )<sup>3)</sup>, обусловленное неоднородным распределением электронов в проводнике.

Применяя к рассматриваемой задаче общие уравнения теории линейного изотермического отклика [12, 13], мы получим материальное уравнение, связывающее плотность полного тока с градиентом электрохимического потенциала. Его фурье-представление при  $q \ll k_F$  имеет следующий вид:

$$j(q, \omega) = -iqen_F D(q, \omega) \zeta(q, \omega) = -iq\sigma(q, \omega) U(q, \omega)/e, \quad (4)$$

где  $n_F$  – плотность состояний на уровне Ферми,  $\sigma(q, \omega)$  – измеряемая электропроводность, связанная с  $D(q, \omega)$  соотношением Эйнштейна. Следует под-

<sup>2)</sup> Подробное обсуждение основных аргументов за и против гипотезы  $\eta = d - 2$  можно найти в [3].

<sup>3)</sup> Неоднородное пространственное распределение электронов ведет не только к возмущению электрического поля в проводнике, которое предполагается учтеным в  $\varphi$ , но также и к появлению диффузионной составляющей в измеряемой плотности полного тока. Именно последний представляет собой отклик на термическое возмущение.

черкнуть, что  $\sigma(q, \omega)$  не является кубовским кинетическим коэффициентом

$$\tilde{\sigma}(q, \omega) = e^2 n_F \frac{D(q, \omega)}{1 + i(q^2/\omega)D(q, \omega)}, \quad (5)$$

которое, в отличие от  $\sigma(q, \omega)$  (см уравнение (4)), связывает плотность полного тока с действующим в системе электрическим полем. Лишь в однородном случае ( $q = 0$ )  $\sigma(0, \omega) = \tilde{\sigma}(0, \omega)$ , и (5) совпадает с соотношением Эйнштейна.

Уравнения (4) и (5) описывают нелокальный линейный отклик пространственно неограниченной однородной системы. В общем случае нелокальность материальных уравнений имеет более сложный характер. В типичной для эксперимента геометрии образец имеет форму плоскопараллельного слоя толщиной  $L$ . В этом случае диффузионный пропагатор носителей заряда  $\tilde{G}(x, x'; \omega)$  является решением уравнения

$$-i\omega \tilde{G}(x, x'; \omega) - \frac{\partial}{\partial x} \int_{-L/2}^{L/2} \tilde{D}(x, y; \omega) \frac{\partial}{\partial y} \tilde{G}(y, x'; \omega) dy = \delta(x - x') \quad (6)$$

с открытыми граничными условиями

$$\tilde{G}(x, x'; \omega)|_{x, x'=\pm L/2} = 0. \quad (7)$$

Интегральное ядро этого уравнения (нелокальный коэффициент диффузии) входит в материальное уравнение, которое связывает электрический ток с градиентом электрохимического потенциала (падение напряжения)

$$I(x) = -e^2 n_F S \int_{-L/2}^{L/2} \tilde{D}(x, x'; \omega) \frac{\partial}{\partial x'} U(x') dx', \quad (8)$$

где  $S \propto L^{d-1}$  – площадь поперечного сечения образца. Решение краевой задачи (6), (7) в отсутствие пространственной дисперсии ( $\tilde{D}(x, x'; \omega) = D(\omega)\delta(x - x')$ ) дает хорошо известный метод изображений [14]:

$$\begin{aligned} \tilde{G}(x, x'; \omega) &= \sum_{n=-\infty}^{+\infty} \left[ G(x - x' + 2nL; \omega) - \right. \\ &\quad \left. - G(x + x' + (2n + 1)L; \omega) \right], \\ G(x; \omega) &= \frac{1}{L} \sum_q \frac{\exp(iqx)}{-i\omega + q^2 D(\omega)}. \end{aligned} \quad (9)$$

Здесь  $G(x, \omega)$  – диффузионный пропагатор неограниченной, пространственно однородной системы. Мы предполагаем, что решение (9) остается справедливым и при наличии пространственной дисперсии, если ее масштаб мал по сравнению с размерами образца ( $R \ll L$ ). В этом случае интегральное ядро материального уравнения (8) по аналогии с (9) выражается через обобщенный коэффициент диффузии  $D(q, \omega)$  неограниченной пространственно однородной системы:

$$\tilde{D}(x, x'; \omega) = \frac{2}{L} \sum_{n=0}^{+\infty} \left[ D(\bar{q}_n, \omega) \sin \bar{q}_n x \sin \bar{q}_n x' + D(q_n, \omega) \cos q_n x \cos q_n x' \right], \quad (10)$$

где  $\bar{q}_n = 2\pi n/L$  и  $q_n = \pi(2n+1)/L$  — дискретные значения волновых чисел.

Учитывая, что падение напряжения  $U(x)$  является нечетной функцией  $x$ , а сила тока  $I(x) = I$  постоянна вдоль исследуемого образца, представим их в виде соответствующих рядов Фурье. Тогда после подстановки (10) в материальное уравнение (8) нетрудно найти выражение для коэффициента Фурье  $U_n$ . Окончательно  $x$ -зависимость падения напряжения может быть представлена в виде следующего ряда Фурье:

$$U(x) = \frac{4I}{LSe^2n_F} \sum_{n=0}^{+\infty} \frac{(-1)^{n+1}}{q_n^2 D(q_n, \omega)} \sin q_n x, \quad |x| < L/2. \quad (11)$$

**3.** При не зависящем от волнового числа  $q_n$  коэффициенте диффузии ряд (11) дает для проводника конечных размеров обычное определение кондактанса  $g(L, \omega) = L^{d-2}e^2n_F D(0, \omega) = L^{d-2}\sigma(\omega)$  и описывает внутри образца ( $|x| < L/2$ ) линейно меняющееся падение напряжения  $U(x) \propto x$ . Пространственная нелокальность обобщенного коэффициента диффузии  $D(q_n, \omega)$  изменяет определение кондактанса

$$\frac{1}{g(L, \omega)} = \frac{8}{LSe^2n_F} \sum_{n=0}^{+\infty} \frac{1}{q_n^2 D(q_n, \omega)} \quad (12)$$

и ведет к нелинейной  $x$ -зависимости падения напряжения (11). Таким образом, информация о пространственной дисперсии обобщенного коэффициента диффузии носителей заряда  $D(q, \omega)$  может быть получена путем измерения нелинейной части  $U(x)$  (11):

$$\Delta U(x) = U(x) - \frac{2x}{L} U(L/2). \quad (13)$$

Рассмотрим образец в форме плоскопараллельного слоя толщиной  $L \gg R$  ( $R$  — масштаб пространствен-

ной нелокальности) с идеальными омическими контактами на противоположных поверхностях и с двумя потенциальными измерительными зондами, расположенными симметрично на расстоянии  $x$  от средней плоскости (см. рис.1а). Измерительные зонды лучше расположить вблизи точек  $x_{\max}$ , где  $\Delta U(x)$  до-

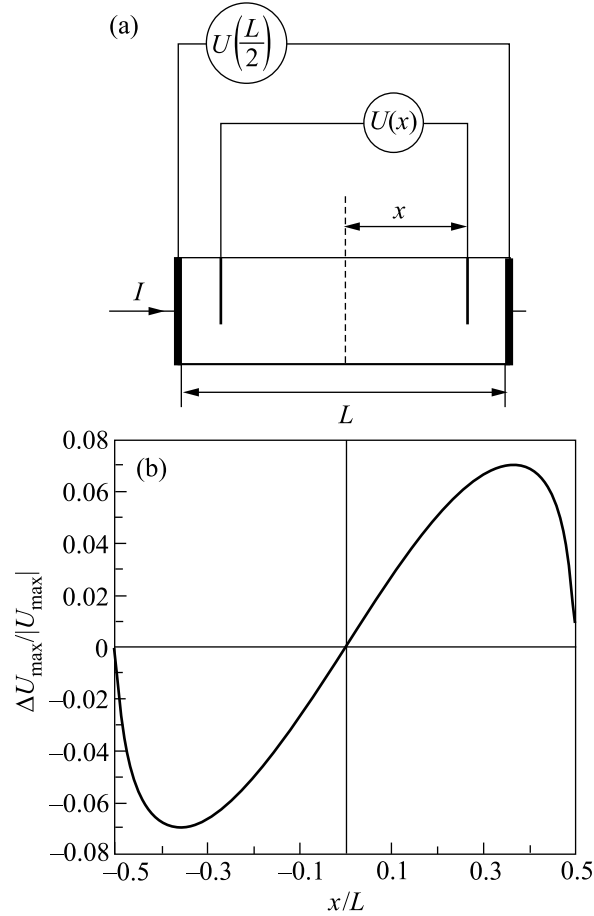


Рис.1. (а) Схема измерения нелинейной части падения напряжения (здесь изображено продольное сечение исследуемого образца). (б) Типичная зависимость нелинейной части падения напряжения от положения  $x$  измерительных зондов. Кривая рассчитана с использованием асимптотик Чолкера (2) для  $\eta = 1.3$  и для  $R/L = 0.1$

ститает максимального значения  $\Delta U_{\max}$ . Для измерения нелинейной части падения напряжения (13) необходима еще одна пара потенциальных зондов, роль которых здесь выполняют омические контакты.

Подстановка (3) в (11), (13) дает  $\Delta U(x) = 0$ . Строго говоря, это равенство выполняется при идеальной компенсации линейной части падения напряжения. Но в любом случае измеряемый сигнал мал по параметру  $R/L \ll 1$ . Отличный от нуля вклад в  $\Delta U(x)$  вносят только нетривиальные  $q$ -

зависимости обобщенного коэффициента диффузии из (2). На рис.1б приведены типичные зависимости  $\Delta U(x)$ , вычисленные с использованием линейной интерполяции между различными чолкеровскими асимптотиками (2) для обратного коэффициента диффузии  $1/D(q, \omega)$  при  $qR \ll 1$  и  $qR \gg 1$ . В этом случае  $x_{\max}$  не зависит от масштабов пространственной нелокальности  $D(q, \omega)$  и при  $\eta = 1.1 \div 1.5$  принимает значения из интервала  $x_{\max} \approx (0.70 \div 0.76)L/2$ . Вычисленное в этих точках  $\Delta U_{\max}$  имеет следующие асимптотики

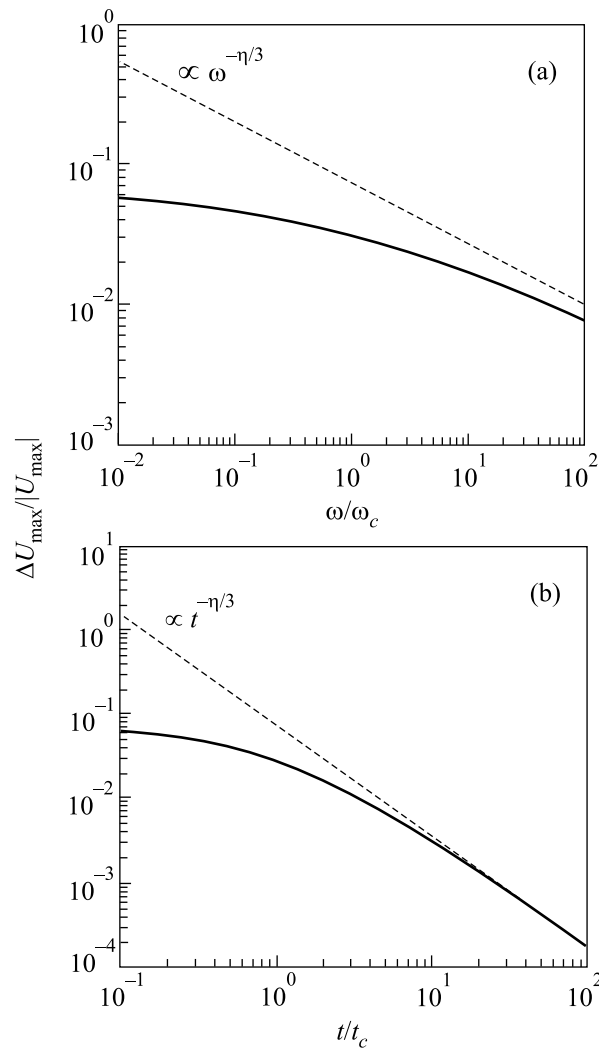
$$\Delta U_{\max} \propto \left(\frac{R}{L}\right)^{\eta} \propto \begin{cases} \omega^{-\eta/d}, & L_{\omega} \ll \xi, \\ \xi^{\eta} \propto |t|^{-\nu\eta}, & L_{\omega} \gg \xi, \end{cases} \quad (14)$$

$L_{\omega}, \xi \ll L.$

Можно предложить два варианта измерений сигнала (14). В первом исследуется частотная зависимость  $\Delta U_{\max}(\omega)$  в образце с фиксированным уровнем беспорядка в достаточно малой окрестности порога подвижности на металлической стороне перехода ( $|t| \ll 1$ ). Согласно (14) и предсказаниям [1] при понижении частоты должен наблюдаться рост  $\Delta U_{\max} \propto \omega^{-\eta/d}$  ( $\omega \gg \omega_c$ ) вплоть до насыщения, достигаемого при  $\Delta U_{\max} \propto (\xi/L)^{\eta}$  ( $\omega \ll \omega_c$ ). Критическая частота  $\omega_c$  определяется условием  $L_{\omega_c} = \xi$  или  $\hbar\omega_c \approx \lambda_F^{-d} n_F^{-1} |t|^{\nu d}$ , где  $\lambda_F$  – длина волны де Броиля на уровне Ферми.

Во втором варианте измеряется зависимость  $\Delta U_{\max}$  (14) от безразмерного расстояния  $t$  до порога подвижности  $\xi_c$  при некотором фиксированном значении частоты  $\omega$ . По-видимому, наиболее простым методом изменения  $t$  в окрестности  $\xi_c$  является управление положением уровня Ферми под давлением [15]. Очень удобным материалом для таких измерений является Si:P, в котором использование этой техники позволяет достичь значений  $|t| \approx 10^{-3}$  [15]. Согласно (14) и предсказаниям [1], при понижении  $t$  должен наблюдаться рост  $\Delta U_{\max} \propto t^{-\nu\eta}$  ( $t \gg t_{\omega}$ ) вплоть до насыщения, достигаемого при  $\Delta U_{\max} \propto (L_{\omega}/L)^{\eta}$  ( $t \ll t_{\omega}$ ). Здесь критическое значение  $t_{\omega}$  определяется условием  $L_{\omega} = \xi$  или  $\lambda_F^d n_F \hbar\omega \approx |t_{\omega}|^{\nu d}$ .

На рис.2 представлены графики таких зависимостей, полученных из (11), (13) с использованием интерполяции  $R^{-1} = \xi^{-1} + L_{\omega}^{-1}$  для масштаба нелокальности. Поскольку в достаточно малой окрестности порога подвижности масштаб нелокальности  $D(q, \omega)$  (2) принимает аномально большие значения  $R = \min(L_{\omega}, \xi)$ , величина сигнала  $\Delta U_{\max}$  (14) вполне доступна для измерений. Как показывают оценки, в образцах Si:P с типичными значениями кон-



центрации фосфора  $n_P \approx 10^{18} \text{ см}^{-3}$  и при реально достижимых значениях  $|t| \approx 10^{-2} \div 10^{-3}$  предсказываемые здесь зависимости  $\Delta U_{\max}$  (см. уравнение (14) и рис.2) должны наблюдаться в доступной для зондовых измерений области частот  $\omega$ . Например, при  $t \approx 10^{-3}$  критическое значение частоты равно  $\omega_c \approx 10^3 \div 10^4 \text{ с}^{-1}$  (см. рис.2а), а соответствующие им корреляционные длины имеют порядок  $L_{\omega_c} \sim \xi \sim 10^{-3} \div 10^{-2} \text{ см}$ .

Таким образом, факт наличия [1, 2] или подавления [4–6] аномальной пространственной дисперсии обобщенного коэффициента диффузии вблизи перехода Андерсона имеет принципиальное значение для понимания микроскопического механизма явления ло-

кализации и, на наш взгляд, может быть проверен экспериментально.

Авторы благодарят И. М. Суслова, обратившего их внимание на эту проблему. Мы также признательны ему за плодотворные дискуссии и постоянный интерес к этой работе.

Работа выполнена при поддержке INTAS (грант # 99-1070).

1. J. T. Chalker, *Physica A* **167**, 253 (1990).
2. T. Brandes, B. Huckestein, and L. Schweitzer, *Ann. Phys.* **5**, 633 (1996).
3. И. М. Суслов, *УФН* **168**, 503 (1998).
4. И. М. Суслов, *ЖЭТФ* **108**, 1686 (1995).
5. А. Г. Грошев, С. Г. Новокшонов, *ЖЭТФ* **111**, 1787 (1997).
6. С. Г. Новокшонов, А. Г. Грошев, *ЖЭТФ* **114**, 711 (1998).
7. В. Л. Березинский, Л. П. Горьков, *ЖЭТФ* **77**, 2498 (1979).
8. E. Abrahams and P. A. Lee, *Phys. Rev. B* **33**, 683 (1986).
9. D. Vollhardt and P. Wölfle, *Phys. Rev. B* **22**, 4666 (1980).
10. F. Wegner, *Z. Phys. B* **36**, 209 (1980).
11. K. Slevin and T. Ohtsuki, *Phys. Rev. Lett.* **82**, 382 (1999).
12. Д. Н. Зубарев, *Современные методы статистической теории неравновесных процессов*, в кн. *Современные проблемы математики*, т. 15, М: ВИНИТИ АН СССР, 1979, р. 131.
13. В. П. Калашников, Препринт ОИЯИ, Дубна, N P4 – 7803 (1974).
14. В. С. Владимиров, *Уравнения математической физики*, М.: Наука, 1981.
15. M. A. Paalanen, S. Sachdev, R. N. Bhatt, and A. E. Ruckenstein, *Phys. Rev. Lett.* **57**, 2061 (1986).